

地震防災対策強化地域判定会検討結果

5 月 29 日に気象庁において第 373 回地震防災対策強化地域判定会(定例)を開催し、気象庁は「最近の東海地域とその周辺の地殻活動」として次の調査結果を発表した(図 2～図 13)。

現在のところ、東海地震に直ちに結びつくとみられる変化は観測していません。

1. 地震の観測状況

5 月 10 日、17 日から 19 日、及び 21 日から 23 日にかけて愛知県、5 月 17 日に長野県のプレート境界付近を震源とする深部低周波地震(微動)を観測しました。

2. 地殻変動の観測状況

GNSS 観測及び水準測量の結果では、御前崎の長期的な沈降傾向は継続しています。

平成 25 年はじめ頃から静岡県西部から愛知県東部にかけての GNSS 観測及びひずみ観測にみられていた通常とは異なる変化は、ほぼ見られなくなっています。

また、5 月 17 日から 19 日にかけて、愛知県の複数のひずみ観測点でわずかな地殻変動を観測しました。

3. 地殻活動の評価

平成 25 年はじめ頃から観測されている通常とは異なる地殻変動は、浜名湖付近のプレート境界において発生している「長期的ゆっくりすべり」に起因すると推定しており、現在は、「長期的ゆっくりすべり」は停滞しています。

そのほかに東海地震の想定震源域ではプレート境界の固着状況に特段の変化を示すようなデータは今のところ得られていません。

一方、上記の 5 月 17 日から 19 日にかけての深部低周波地震(微動)及びひずみ観測点で観測した地殻変動は、想定震源域より西側の愛知県のプレート境界深部において発生した「短期的ゆっくりすべり」に起因すると推定しています。

以上のように、現在のところ、東海地震に直ちに結びつくとみられる変化は観測していません。

なお、GNSS 観測の結果によると「平成 23 年(2011 年)東北地方太平洋沖地震」による余効変動が、小さくなりつつありますが東海地方においてもみられています。

大規模な地震から国民の生命・財産を保護することを目的として、昭和 53 年(1978 年)12 月に施行された「大規模地震対策特別措置法」では、大規模な地震の発生のおそれがあり、その地震によって大きな被害が予想されるような地域を予め「地震防災対策強化地域」(以下、「強化地域」という。)として指定し、地震予知のための観測施設の整備を強化し、予め地震防災に関する計画をたてる等、各種の措置を講じることとしている。強化地域は平成 14 年(2002 年)4 月に見直しが行われ、現在、静岡県全域と東京都、神奈川・山梨・長野・岐阜・愛知及び三重の各県にまたがる 157 市町村(平成 24 年 4 月現在)が強化地域に指定されている。強化地域では、マグニチュード 8 クラスと想定されている大地震(東海地震)が起こった場合、震度 6 弱以上(一部地域では震度 5 強程度)になり、沿岸では大津波の来襲が予想されている。

気象庁では、いつ発生してもおかしくない状態にある「東海地震」を予知すべく、東海地域の地震活動や地殻変動等の状況を監視している。また、これらの状況を定期的に評価するため、地震防災対策強化地域判定会を毎月開催して委員の意見提供等を受け、現在の状況を取りまとめたコメント「最近の東海地域とその周辺の地殻活動」を発表している。

[地震防災対策強化地域判定会検討結果の頁で使われる用語]

・「想定震源域」と「固着域」

東海地震発生時には、「固着域」(プレート間が強く「くっついている」と考えられている領域)あるいはその周辺の一部からゆっくりしたずれ(前兆すべり)が始まり、最終的には「想定震源域」全体が破壊すると考えられている。

・「クラスタ」「クラスタ除去」

地震は時間空間的に群(クラスタ: cluster)をなして起きることが多くある。「本震とその後に起きる余震」、「群発地震」などが典型的なクラスタで、余震活動等の影響を取り除いて地震活動全体の推移を見ることを「クラスタ除去」と言う。図 2 の静岡県中西部の場合、相互の震央間の距離が 3 km 以内で、相互の発生時間差が 7 日以内の地震群をクラスタとして扱い、その中の最大の地震をクラスタに含まれる地震の代表とし、地震が 1 つ発生したと扱う。

・「長期的ゆっくりすべり(長期的スロースリップ)」

主に浜名湖周辺下のフィリピン海プレートと陸のプレートの境界が、数年間にかけてゆっくりとすべる現象で、十数年程度の間隔で繰り返し発生していると考えられており、前回は 2000 年秋頃～2005 年夏頃にかけて発生した。

・「深部低周波地震(微動)」

深さ約 30 km～40 km で発生する、長周期の波が卓越する地震を「深部低周波地震」と言う。長野県南部～日向灘にかけては帶状につながる深部低周波地震の震央分布が見られる。深部低周波微動は、現象的には深部低周波地震と同じであるが、解析手法に違いがあるため、深部低周波地震が観測されない場合にも観測されることがある。

・「短期的ゆっくりすべり(短期的スロースリップ)」

「短期的ゆっくりすべり」は、深部低周波地震(微動)の発生領域とほぼ同じ領域でのフィリピン海プレートと陸のプレートの境界のすべりと考えられている。数日～1 週間程度継続する「短期的ゆっくりすべり(短期的スロースリップ)」が観測されるときは、ほぼ同時に深部低周波地震(微動)活動が観測されることが多い。

なお、地震活動および地殻活動の解析には Hirose et al. (2008)*によるフィリピン海プレートと陸のプレートの境界データを使用している。

*Hirose, F., J. Nakajima, and A. Hasegawa (2008), Three-dimensional seismic velocity structure and configuration of the Philippine Sea slab in southwestern Japan estimated by double-difference tomography, J. Geophys. Res., 113, B09315, doi:10.1029/2007JB005274.

東海地域の地震活動指數

(参考)

(クラスタを除いた地震回数による) 2017 年 5 月 23 日現在

	① 静岡県中西部		② 愛知県		③ 浜名湖周辺			④ 駿河湾
	地殻内	フィリピン海プレート	地殻内	フィリピン海プレート	フィリピン海プレート内 全域	西側	東側	全域
短期活動指數	5	5	4	3	2	3	4	5
短期地震回数 (平均)	7 (5.29)	9 (7.00)	13 (13.16)	11 (14.15)	1 (3.72)	0 (1.43)	1 (2.28)	7 (6.06)
中期活動指數	4	4	5	2	1	3	2	5
中期地震回数 (平均)	16 (15.87)	19 (21.00)	44 (39.48)	34 (42.44)	2 (7.44)	1 (2.87)	1 (4.57)	14 (12.12)

* Mしきい値： 静岡県中西部、愛知県、浜名湖周辺：M≥1.1、駿河湾：M≥1.4

* クラスタ除去：震央距離がΔr以内、発生時間差がΔt以内の地震をグループ化し、最大地震で代表させる。

静岡県中西部、愛知県、浜名湖周辺：Δr=3km、Δt=7日

駿河湾：Δr=10km、Δt=10日

* 対象期間： 静岡県中西部、愛知県：短期30日間、中期90日間

浜名湖周辺、駿河湾：短期90日間、中期180日間

* 基準期間： おおむね長期的スロースリップ（ゆっくり滑り）発生前の地震活動を基準とする。

静岡県中西部、愛知県：1997年—2001年（5年間）、駿河湾：1991年—2000年（10年間）、浜名湖周辺：1997年—2000年 および 2006年—2012年（11年間）

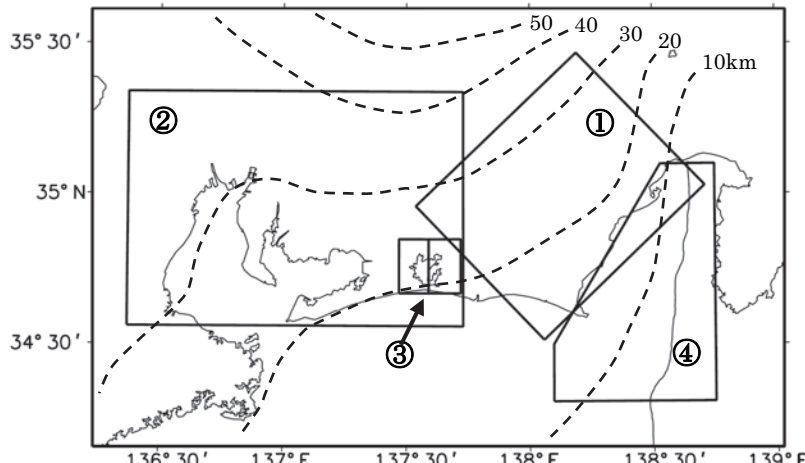
[各領域の説明] ① 静岡県中西部：プレート間が強く「くっついている」と考えられている領域（固着域）。

② 愛知県：フィリピン海プレートが沈み込んでいく先の領域。

③ 浜名湖周辺：固着域の縁。長期的スロースリップ（ゆっくり滑り）が発生する場所であり、同期して地震活動が変化すると考えられている領域。

④ 駿河湾：フィリピン海プレートが沈み込み始める領域。

2009 年 8 月 11 日の駿河湾の地震 (M6.5) と 2011 年 8 月 1 日の駿河湾の地震 (M6.2) の余震域の活動を除いた場合での活動指數についても求めた（次ページ）。



* Hirose et al. (2008) によるプレート境界の等深線を破線で示す

地震回数の指数化		
指數	確率 (%)	地震数
8	1	多い
7	4	やや多い
6	10	中
5	15	ほぼ平常
4	40	少
3	15	やや少
2	10	とても少
1	4	非常に少
0	1	少ない

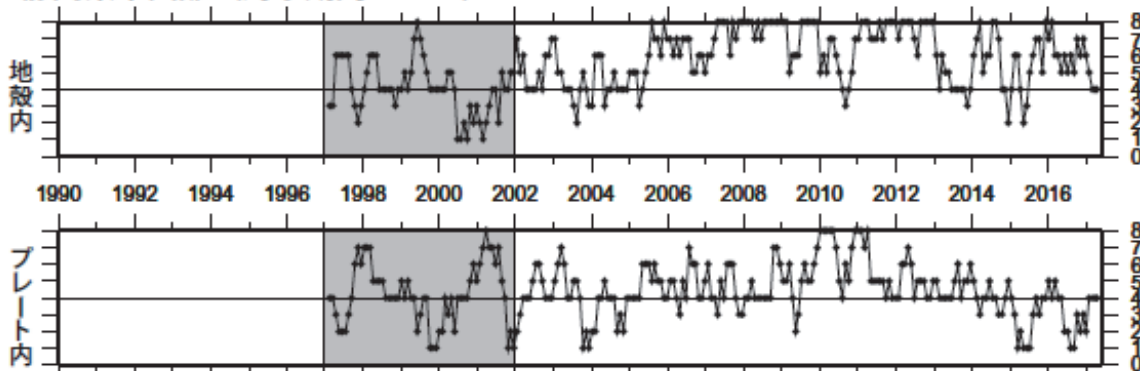
図 2 東海地域の地震活動指數

気象庁作成

地震活動指数の推移（中期活動指数）

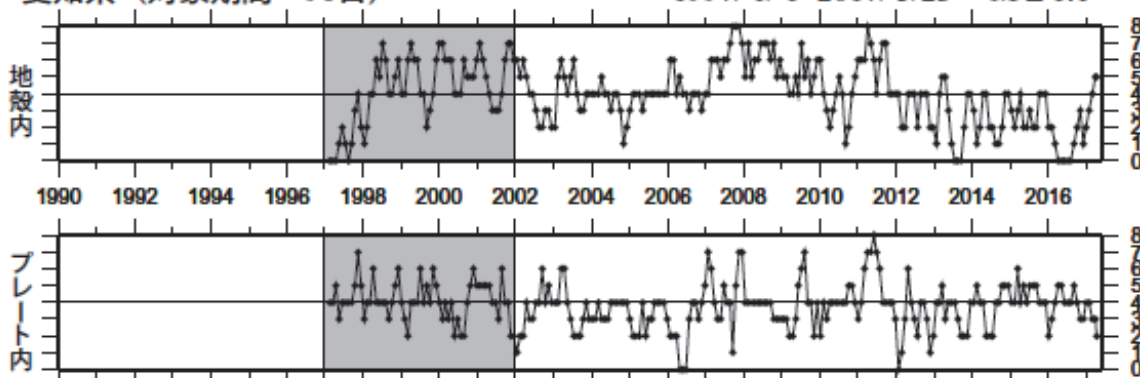
① 静岡県中西部（対象期間：90日）

1997/1/1~2017/5/23 M≥1.1



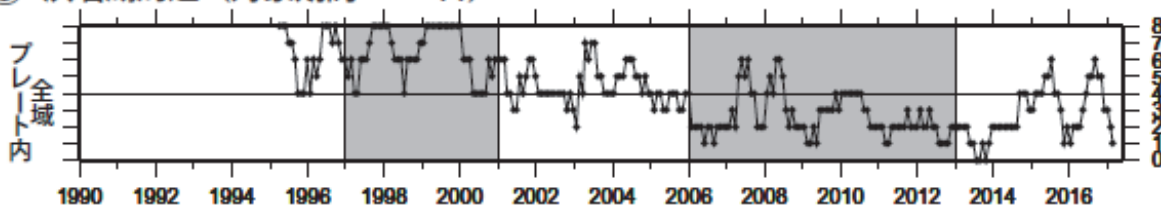
② 愛知県（対象期間：90日）

1997/1/1~2017/5/23 M≥1.1



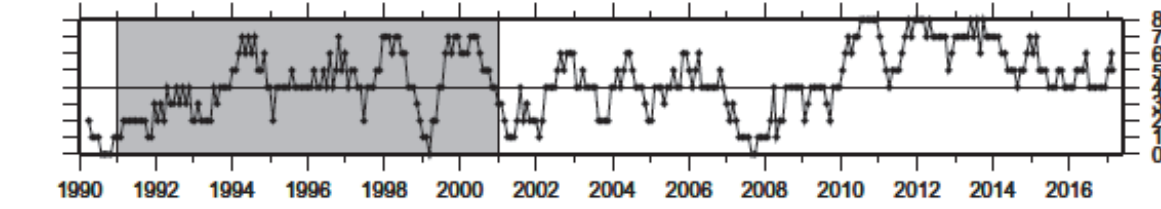
③ 浜名湖周辺（対象期間：180日）

1995/1/1~2017/5/23 M≥1.1

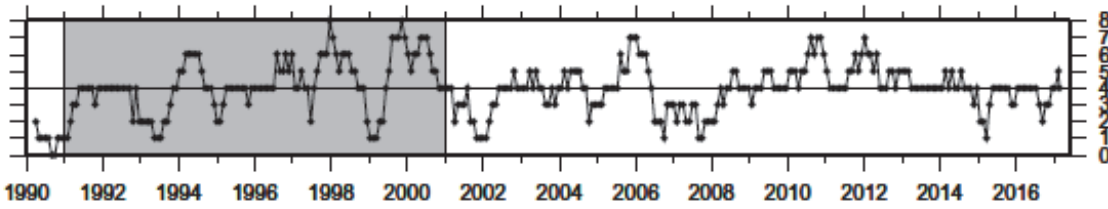


④ 駿河湾（対象期間：180日）

1990/1/1~2017/5/23 M≥1.4



2009年8月11日の駿河湾の地震（M6.5）と2011年8月1日の駿河湾の地震（M6.2）の余震域の活動を除去した場合



■ : 基準期間

/ : 地震活動指数（0-8）

図3 東海地域の地震活動指数の推移

気象庁作成

深部低周波地震活動（2000 年 1 月 1 日～2017 年 5 月 23 日） 深部低周波地震は、「短期的ゆっくりすべり」に密接に関連する現象とみられており、プレート境界の状態の変化を監視するために、その活動を監視している。

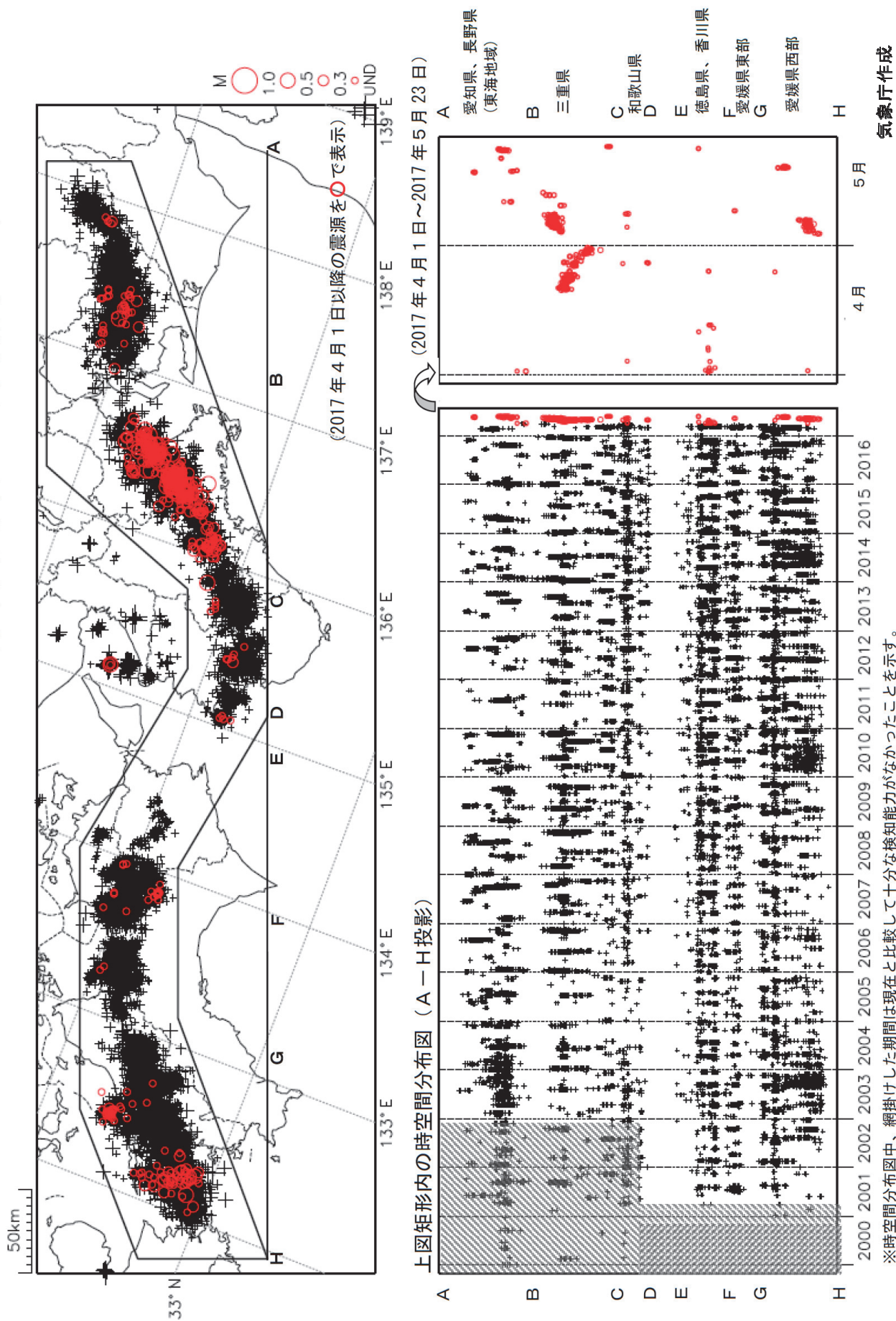


図 4 深部低周波地震活動（2000 年 1 月 1 日～2017 年 5 月 23 日）

愛知県から長野県にかけての 深部低周波地震（微動）活動と短期的ゆっくりすべり

5月17日から5月18日にかけて、愛知県を震央とする深部低周波地震（微動）を観測した（震央分布図に赤で示した震源に対応）。深部低周波地震（微動）活動とほぼ同期して、5月17日から5月19日にかけて、愛知県に設置されている複数のひずみ観測点で地殻変動を観測した。

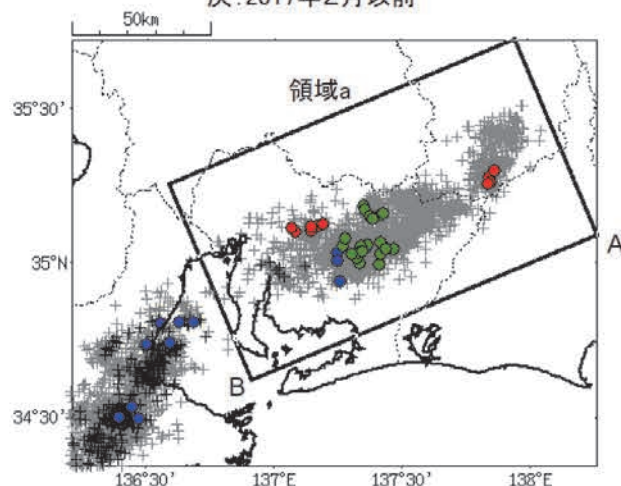
これらの現象は、「短期的ゆっくりすべり」に起因すると考えられる。

また、5月10日に愛知県（青）、5月17日に長野県（赤）、5月21日から23日にかけて愛知県（緑）で深部低周波地震（微動）を観測した。これらの深部低周波地震（微動）活動の期間には、ひずみ計に特段の変化は観測されていない。

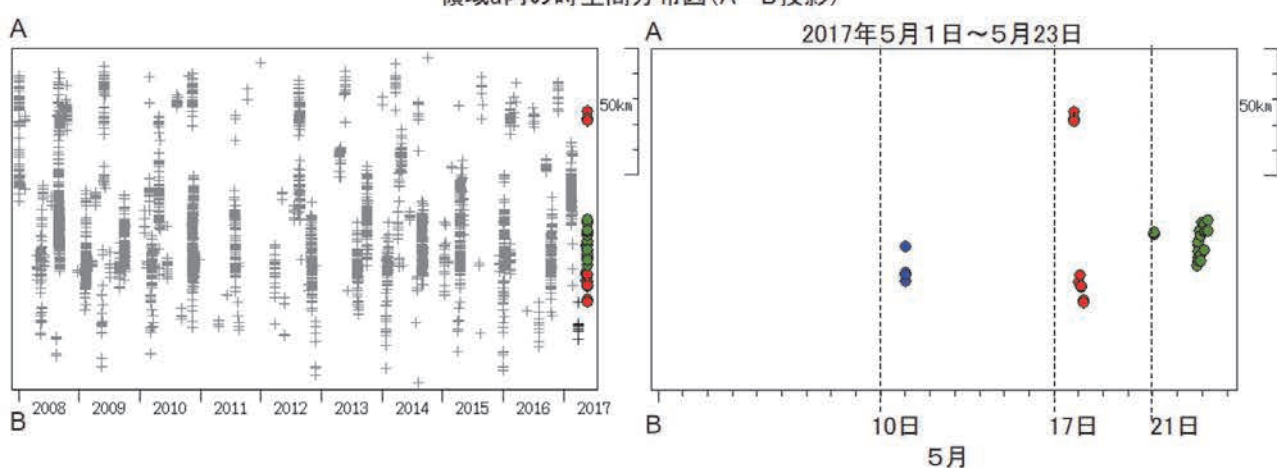
深部低周波地震（微動）活動

震央分布図

(2008年1月1日～2017年5月23日、深さ0～60km、Mすべて)
 黒: 2017年3月1日～5月9日 青: 2017年5月10日～16日
 赤: 2017年5月17日～18日 緑: 2017年5月19日以降
 灰: 2017年2月以前



領域a内の時空間分布図(A-B投影)



気象庁作成

図 5-1 愛知県から長野県にかけての深部低周波地震（微動）活動と短期的ゆっくりすべり

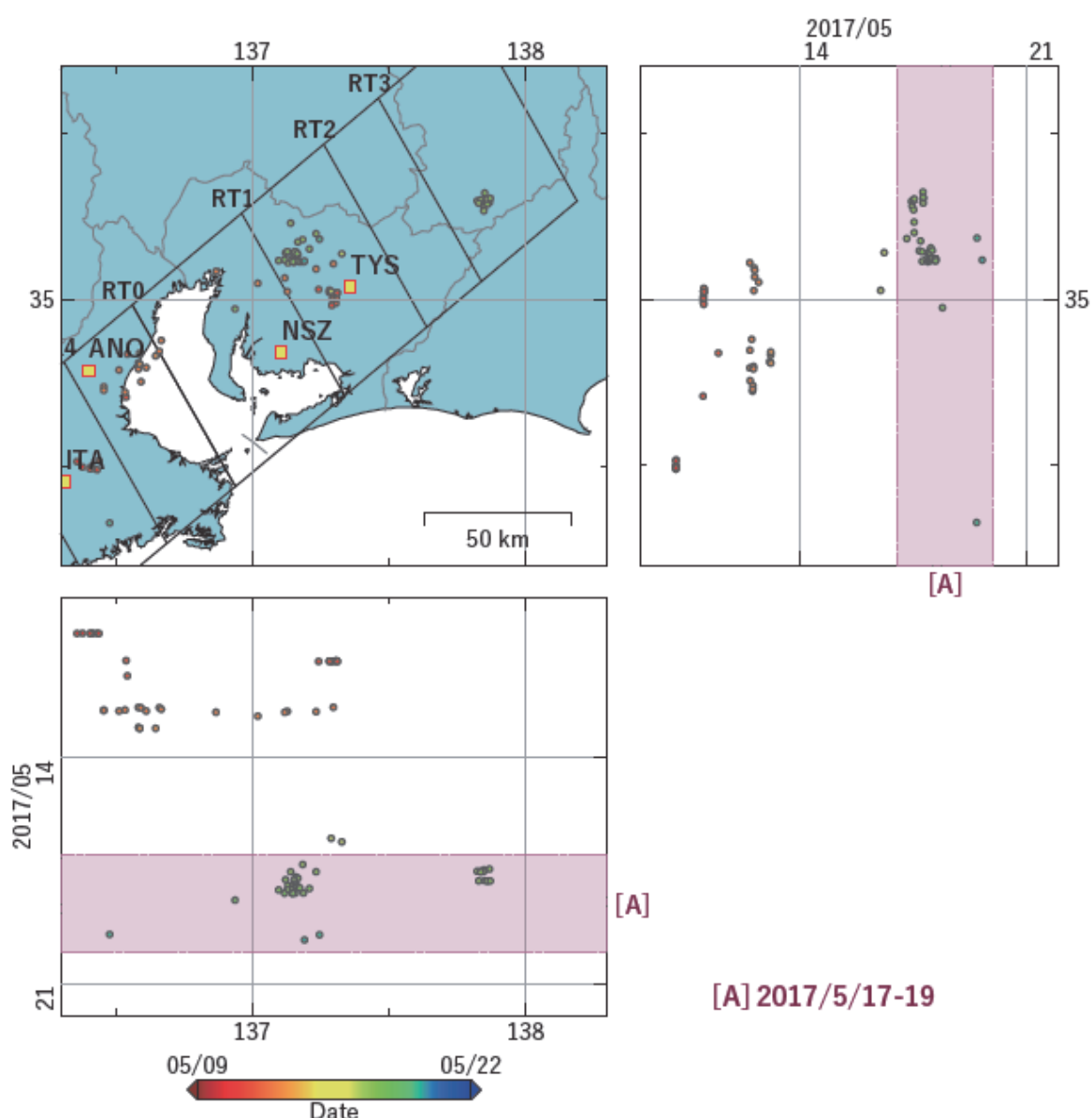


図29 2017/5/9 0:00-5/22 0:00の東海地方における深部低周波微動の時空間分布
図。エンベロープ相関法により決定。
(観測点名) TYS: 豊田神殿, NSZ: 西尾善明, ANO: 津安濃, ITA: 松阪飯高

産業技術総合研究所資料

図 5-2 愛知県から長野県にかけての深部低周波地震（微動）活動と短期的ゆっくりすべり

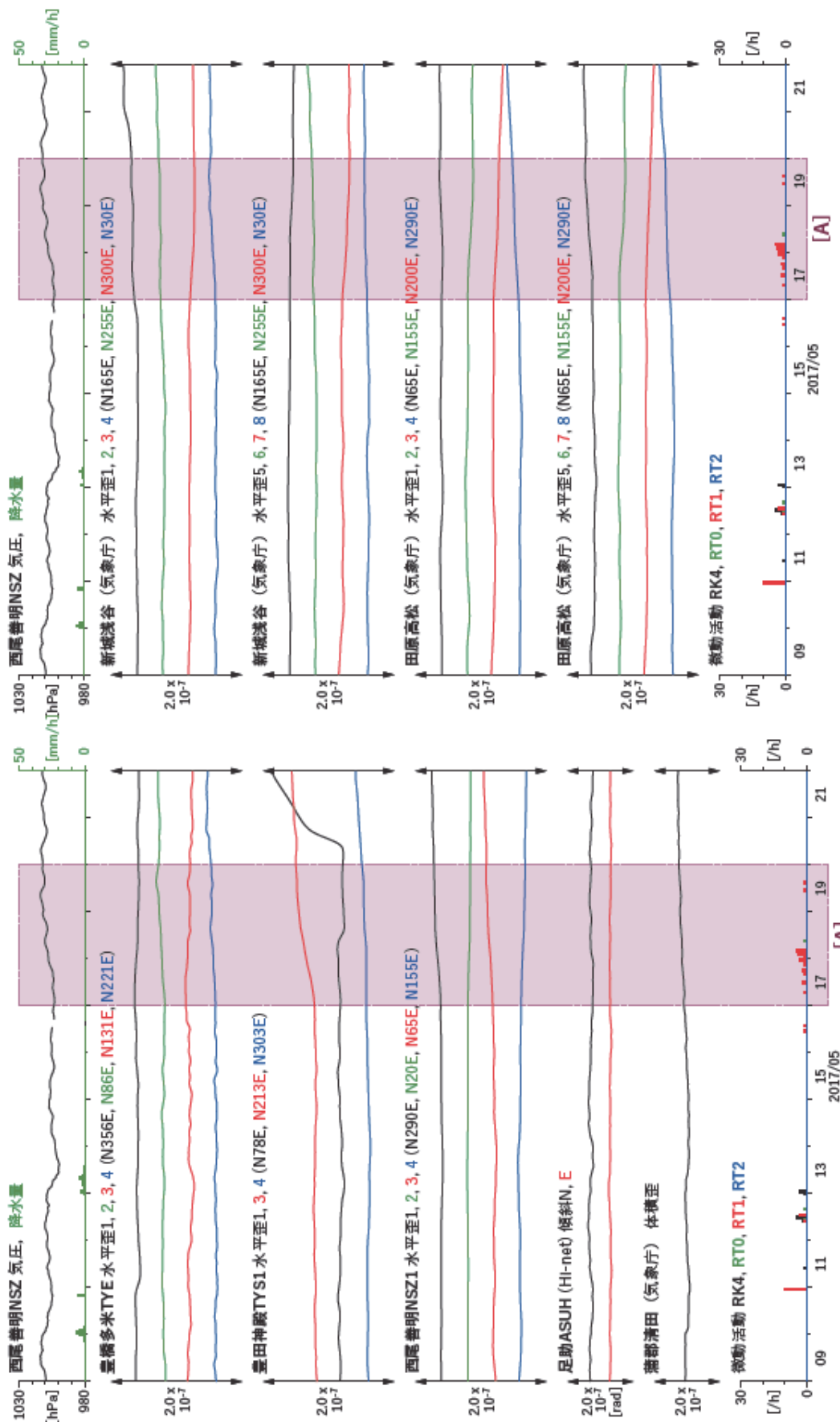
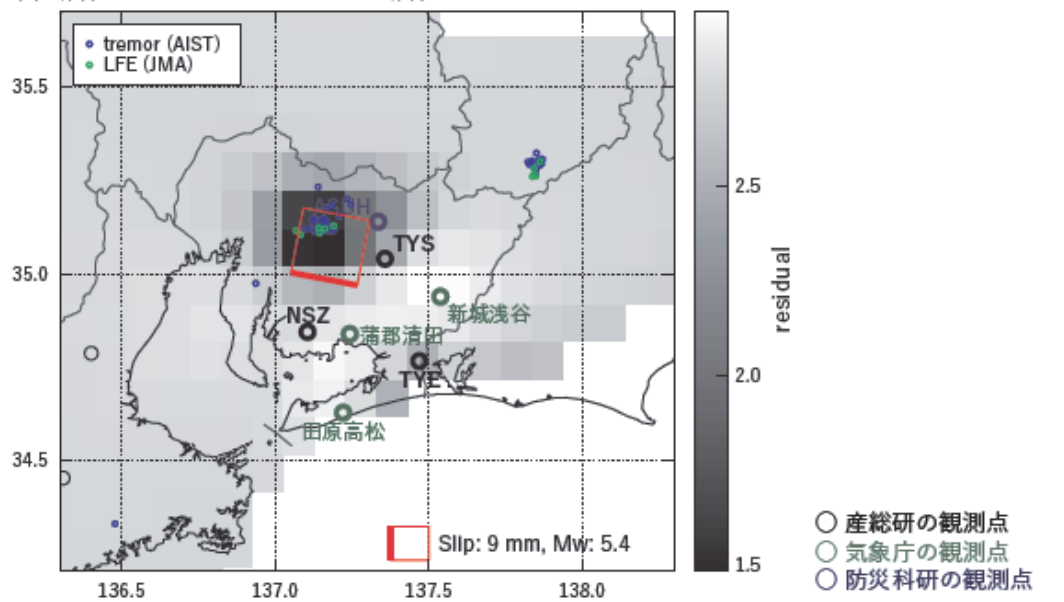


図 5-3 愛知県から長野県にかけての深部低周波地震（微動）活動と短期的ゆっくりすべり

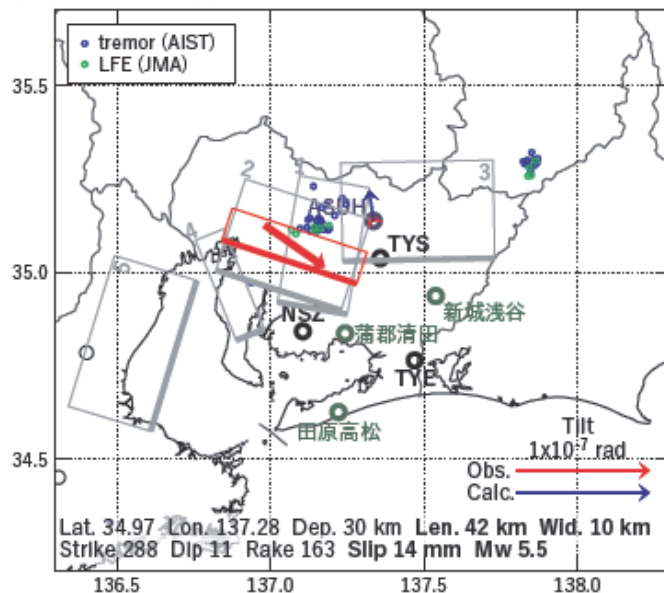
図30 東海地方における歪・傾斜観測結果(2017/5/9 0:00 - 2017/5/22 0:00 (JST))

[A] 2017/5/17-19

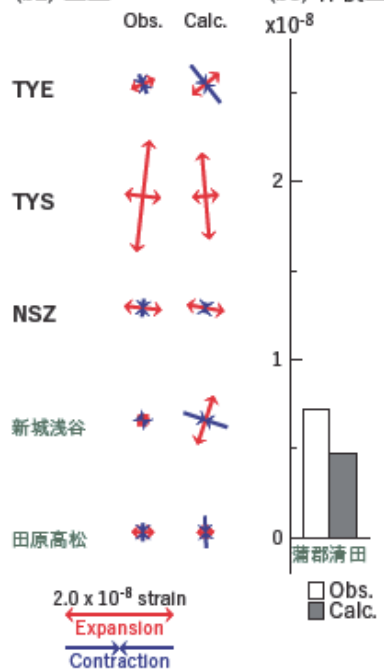
(a) 断層の大きさを固定した場合の断層モデルと残差分布



(b1) 推定された断層モデル



(b2) 主歪



(b3) 体積歪

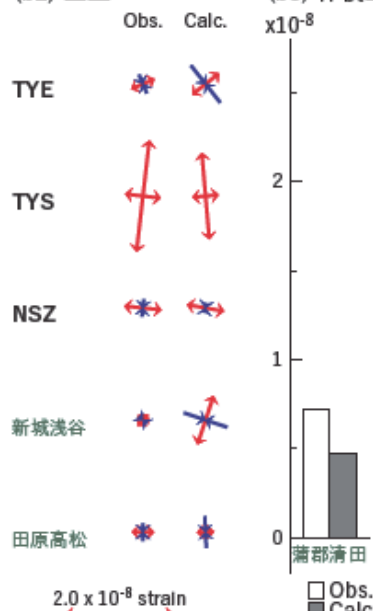


図31 2017/5/17-19の歪・傾斜変化（図30[A]）を説明する断層モデル。

(a) プレート境界面に沿って分布させた20x20km（大きさ固定）の矩形断層面に対して、おののの断層面で最適なすべり量を選んだときの残差の総和をその断層面の位置に示した分布図。赤色矩形が残差の総和が最小となる断層面。

(b1) (a)の断層面付近をグリッドサーチして推定した断層面（赤色矩形）と断層パラメータ。矢印は傾斜の観測値と計算値の比較。灰色矩形は最近周辺で発生した短期的SSEの推定断層面。

1: 2016/10/16-18AM (Mw 5.3), 2: 2016/10/18PM-20 (Mw 5.7), 3: 2017/2/13PM-17 (Mw 5.8), 4: 2017/3/28-4/3 (Mw 5.8),
5: 2017/5/4-8 (Mw 5.5)

(b2) 主歪の観測値と(b1)に示した断層モデルから求めた計算値との比較。

(b3) 体積歪の観測値と(b1)に示した断層モデルから求めた計算値との比較。

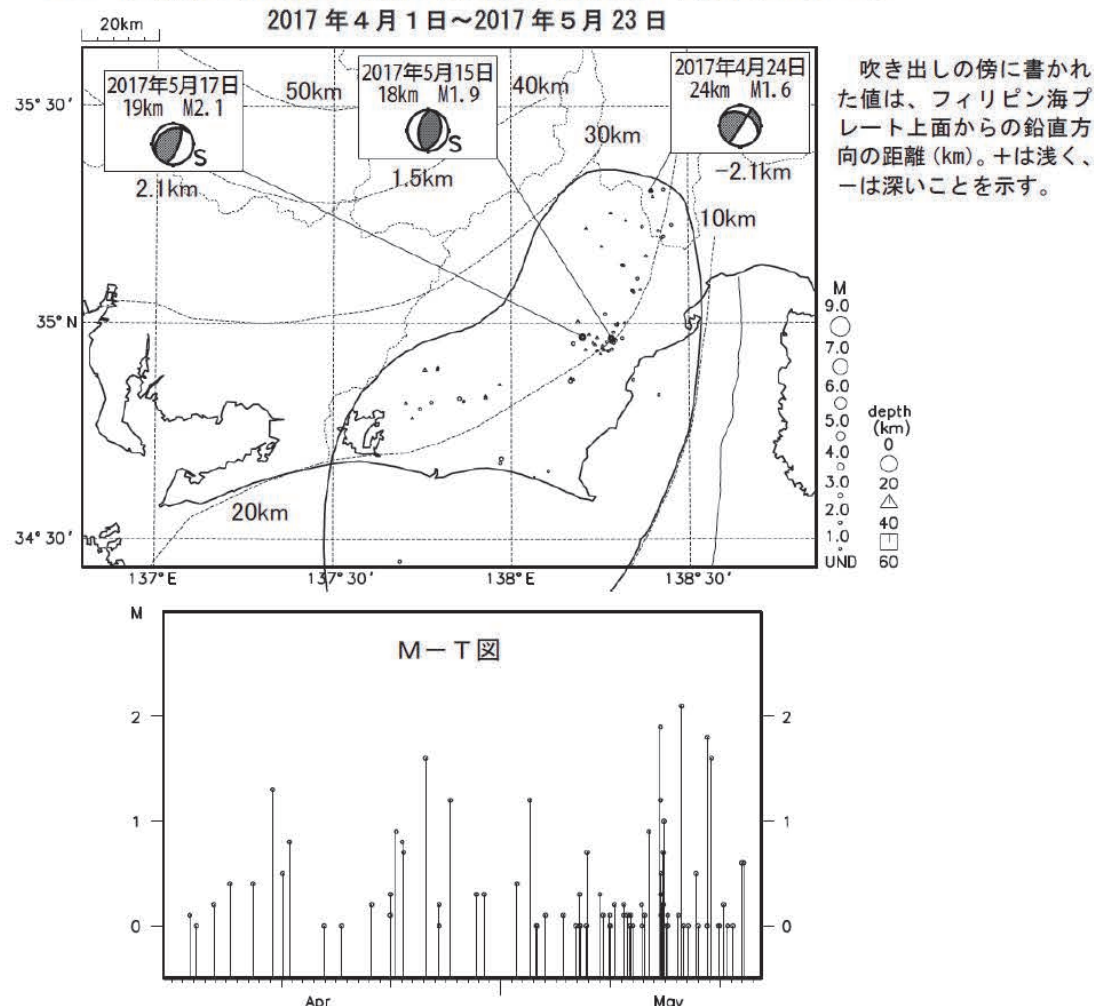
産業技術総合研究所資料

図5-4 愛知県から長野県にかけての深部低周波地震（微動）活動と短期的ゆっくりすべり

プレート境界とその周辺の地震活動(最近の活動状況)

(Hirose et al. (2008)によるフィリピン海プレート上面深さの±3km の地震を抽出)

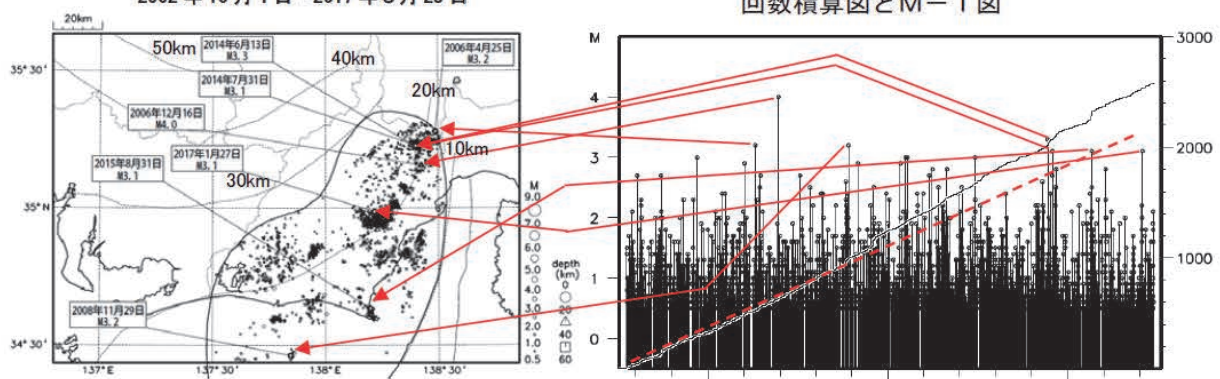
プレート境界とその周辺の地震の震央分布（最近約 1 ヶ月半、Mすべて）



プレート境界とその周辺の地震の震央分布（2002 年 10 月以降、M ≥ 0.5 ）

2002 年 10 月 1 日～2017 年 5 月 23 日

回数積算図と M-T 図



2002 年 10 月以降 (M ≥ 0.5) で見ると、東海地域のプレート境界とその周辺の地震活動は、2007 年中頃あたりからやや活発に見える。なお、2009 年 8 月 11 日以降は、駿河湾の地震 (M6.5) の余震活動の一部を抽出している。M 3 を超える地震については、その震央を矢印で示しているが、これらの地震の発震機構解のうち、想定東海地震のものと類似の型に相当したものは 2017 年 1 月 27 日の地震である。

*震央分布図中の点線は、Hirose et al. (2008)によるフィリピン海プレート上面の深さを示す。

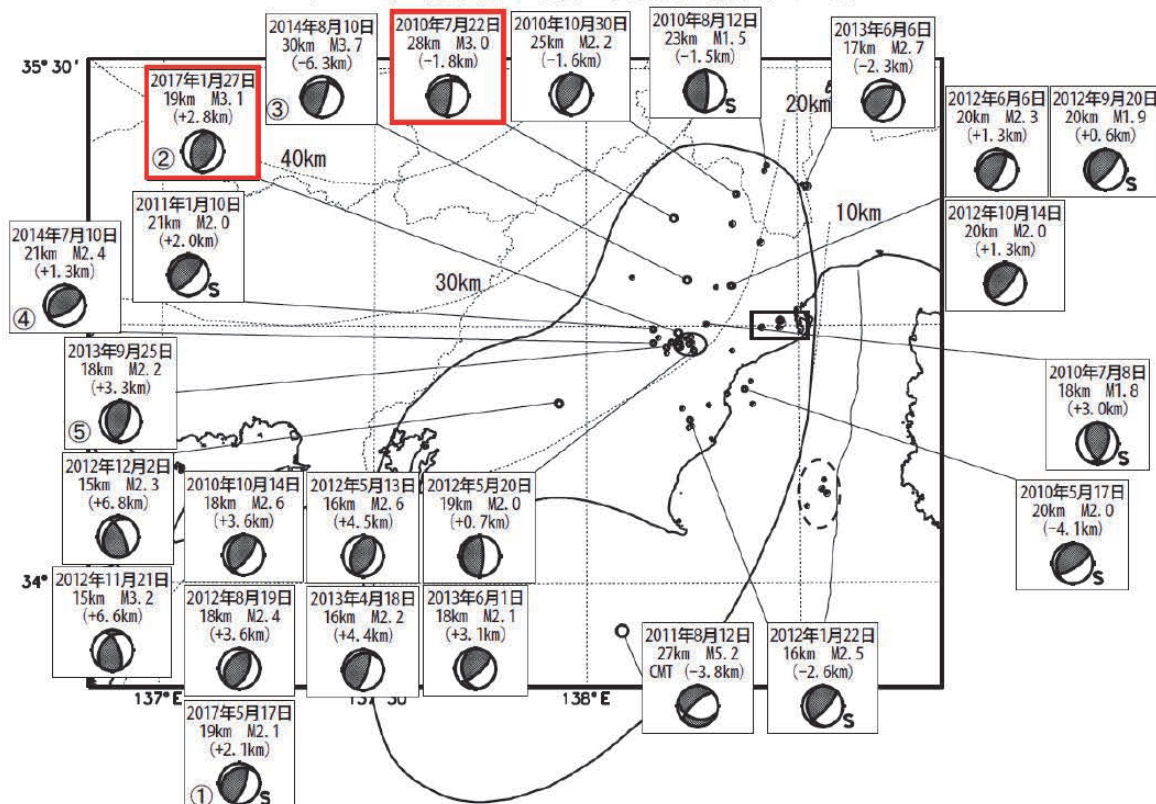
気象庁作成

図 6 プレート境界とその周辺の地震活動(最近の活動状況)

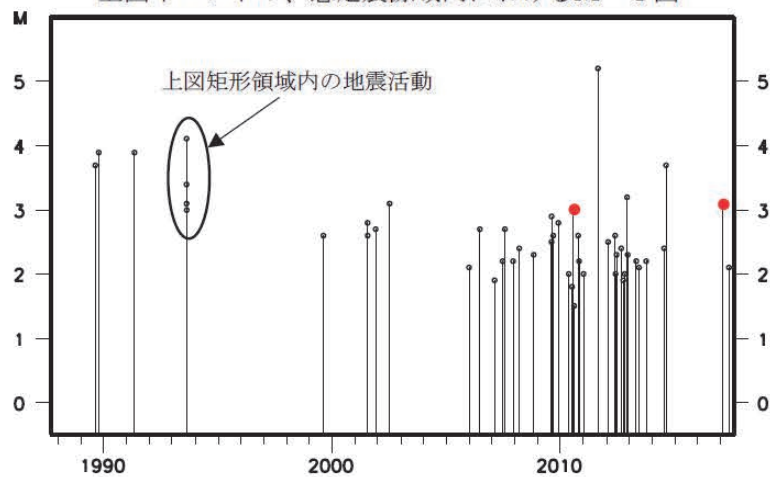
想定東海地震の発震機構解と類似の型の地震

1987 年 9 月 1 日～2017 年 5 月 23 日

(2010 年 1 月以降の地震に吹き出しを付いている)



上図イベントの、想定震源域内におけるM-T図



想定震源域内で発生した地震のうち、2010 年 1 月以降に発生した
M3.0 以上かつプレート境界からの鉛直方向の距離が±3km 以内の地震の枠を赤く表示

吹き出し内に()で記載した値は、Hirose et al. (2008)によるプレート境界からの鉛直方向の距離。+はプレート境界より浅く、-は深いことを示す。

震央分布図中の点線は、Hirose et al. (2008)によるプレート境界を示す。

最近発生した 5 つの地震については、丸数字で順番を示す。

想定東海地震の発震機構解と類似の型の地震を抽出した。抽出条件は、P 軸の傾斜角が 45 度以下、かつ P 軸の方位角が 65 度以上 145 度以下、かつ T 軸の傾斜角が 45 度以上、かつ N 軸の傾斜角が 30 度以下とした。

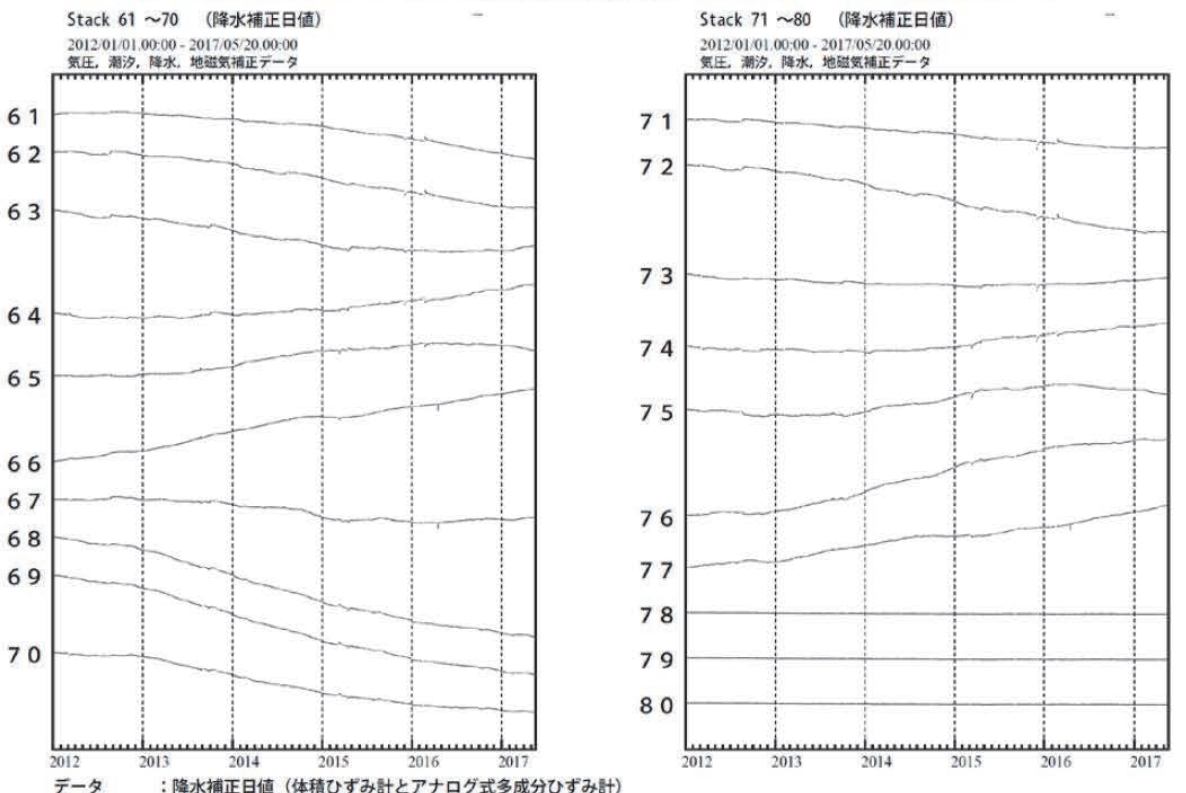
プレート境界で発生したと疑われる地震の他、明らかに地殻内またはフィリピン海プレート内で発生したと推定される地震も含まれている。点線楕円で囲まれた地震は、2011 年 8 月 1 日に発生した M6.2 の地震の余震で、フィリピン海プレート内の地震である。

なお、吹き出し図中、震源球右下隣りに S の表示があるものは、発震機構解に十分な精度がない。

気象庁作成

図 7 想定東海地震の発震機構解と類似の型の地震

ひずみ日値のスタッキングによる長期的ゆっくりすべりの検出について



データ：降水補正日値（体積ひずみ計とアナログ式多成分ひずみ計）
ノイズレベル：2011年6月から2012年12月までの60日階差の標準偏差
トレンド：2012年7月～2012年12月で求めたトレンドを除去

気象研究所・気象庁作成

図1：日値スタッキング波形。番号は監視グリッド（図2参照）を示す。

データ：補正日値（体積ひずみ計と1998年から2002年整備の多成分ひずみ計）
主な地震および短期的 SSE による変化をオフセットとして除去
ひずみ計の長期変化について、指標関数で近似して補正
ノイズレベル：2011年6月～2012年12月の、60日階差（単純な階差）の標準偏差
理論値計算：0.15°ごとの各グリッドを中心とする、 $20 \times 20\text{km}$ の断層
トレンド：2012年7月～12月の期間のトレンドを除去している

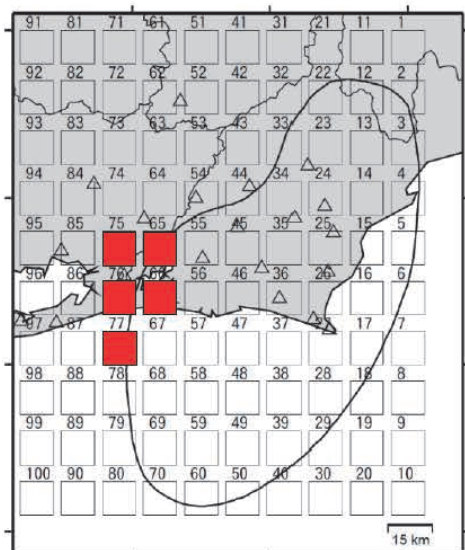


図2：グリッド配置およびすべり位置

□スタッキンググリッド

グリッド No.65, 66 及び 75~77 に見られる変化が長期的ゆっくりすべりに対応していると考えられる。これらのグリッドがすべてていると仮定し、グリッドサーチにより総すべり量を求めると Mw6.8 相当となる。そのモーメントの時間変化を見ると 2015 年後半から鈍化している。

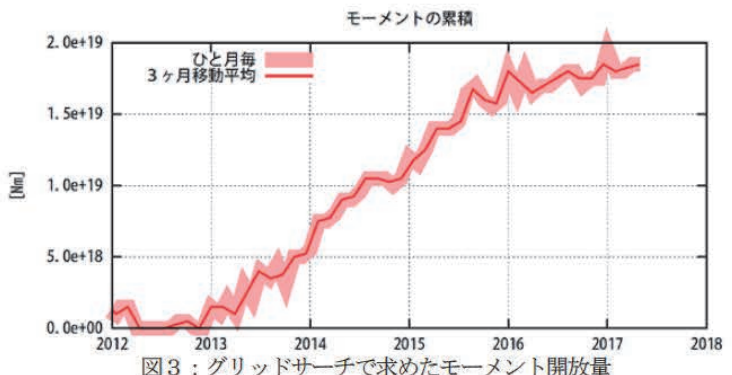


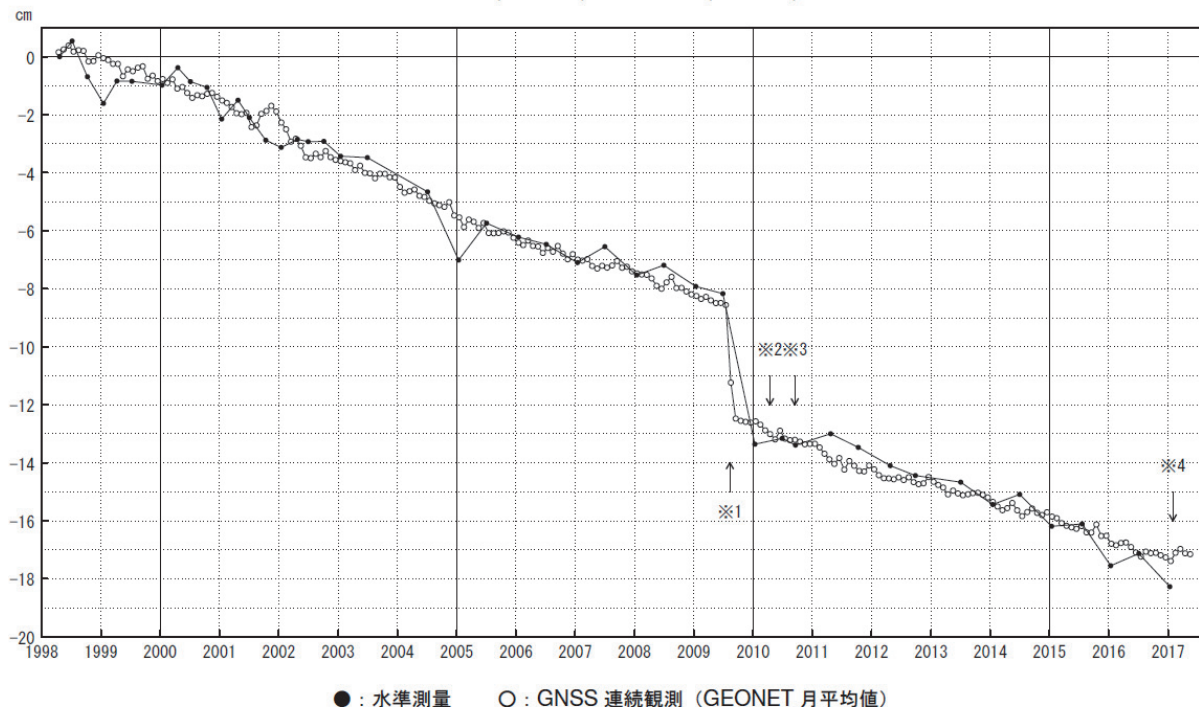
図8 ひずみ日値のスタッキングによる長期的ゆっくりすべりの検出について

気象庁・気象研究所作成

御前崎 電子基準点の上下変動 水準測量と GNSS 連続観測

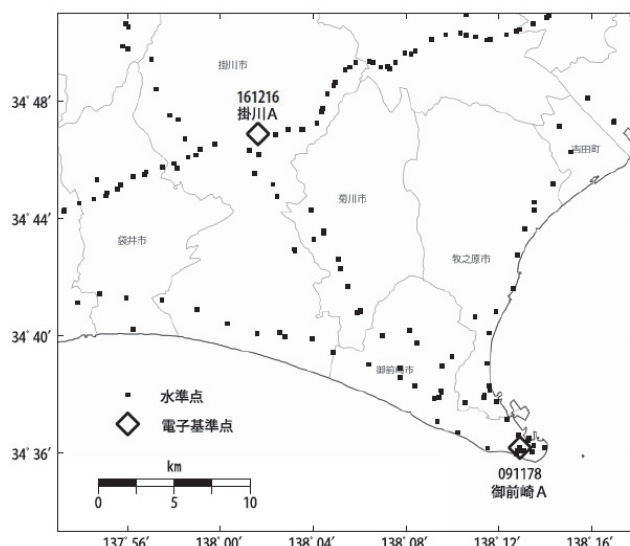
掛川に対して、御前崎が沈降する長期的な傾向が続いている。

掛川 A (161216) - 御前崎 A (091178)



・ 最新のプロット点は 05/01～05/06 の平均。

- ※1 電子基準点「御前崎」は 2009 年 8 月 11 日の駿河湾の地震 (M6.5) に伴い、地表付近の局所的な変動の影響を受けた。
- ※2 2010 年 4 月以降は、電子基準点「御前崎」をより地盤の安定している場所に移転し、電子基準点「御前崎 A」とした。上記グラフは電子基準点「御前崎」と電子基準点「御前崎 A」のデータを接続して表示している。
- ※3 水準測量の結果は移転後初めて変動量が計算できる 2010 年 9 月から表示している。
- ※4 2017 年 1 月 30 日以降は、電子基準点「掛川」は移転し、電子基準点「掛川 A」とした。上記グラフは電子基準点「掛川」と電子基準点「掛川 A」のデータを接続して表示している。



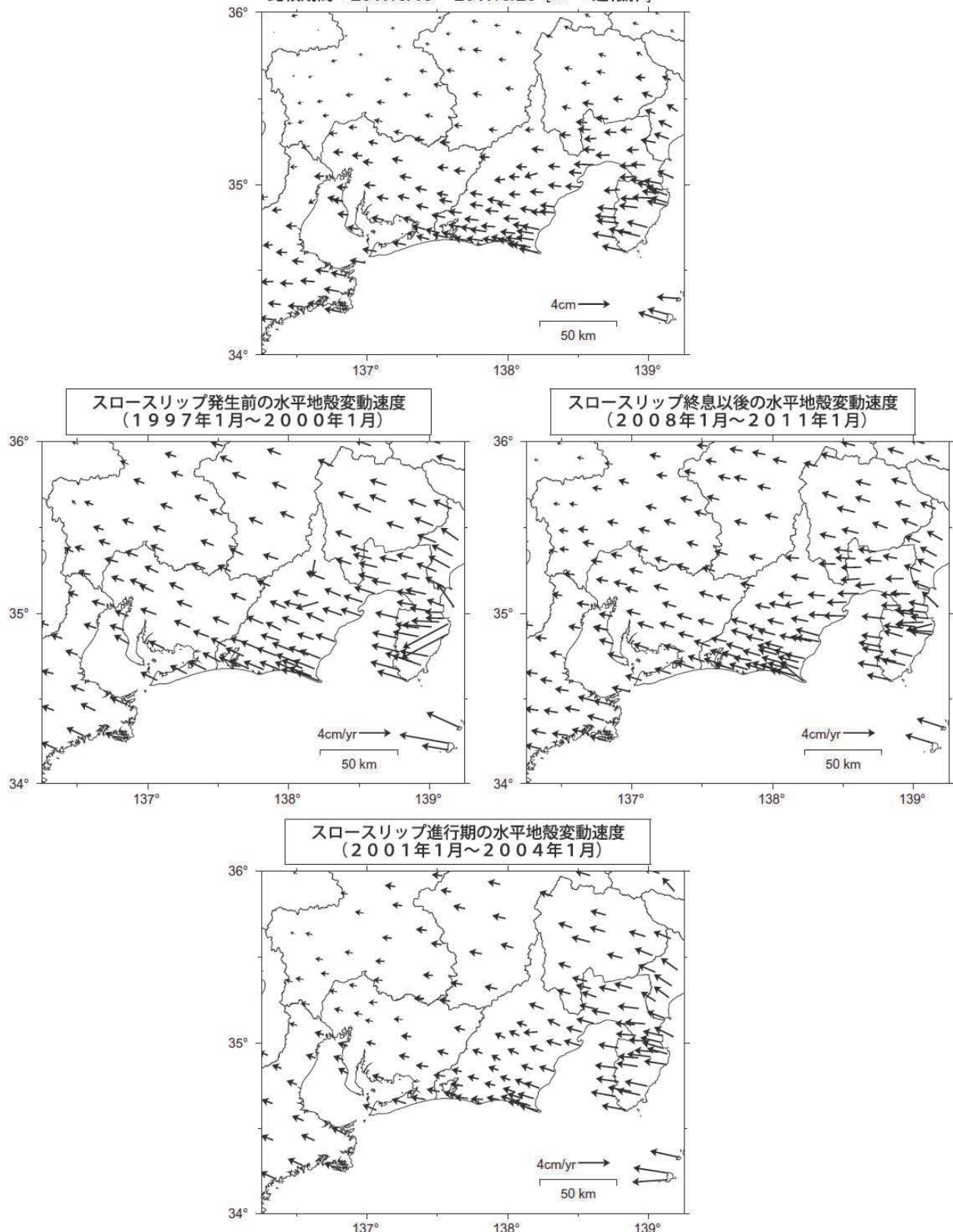
国土地理院

図9 国土地理院 GNSS 観測結果及び水準測量による御前崎の上下変動

掛川から見た御前崎の上下変動を示したものである。掛川に対して御前崎が沈降するという長期的な傾向に変化は見られない。

東海地方の水平地殻変動【固定局：三隅】 (2016年5月～2017年5月)

基準期間：2016/5/13 - 2016/5/20 [F3：最終解]
比較期間：2017/5/13 - 2017/5/20 [R3：速報解]

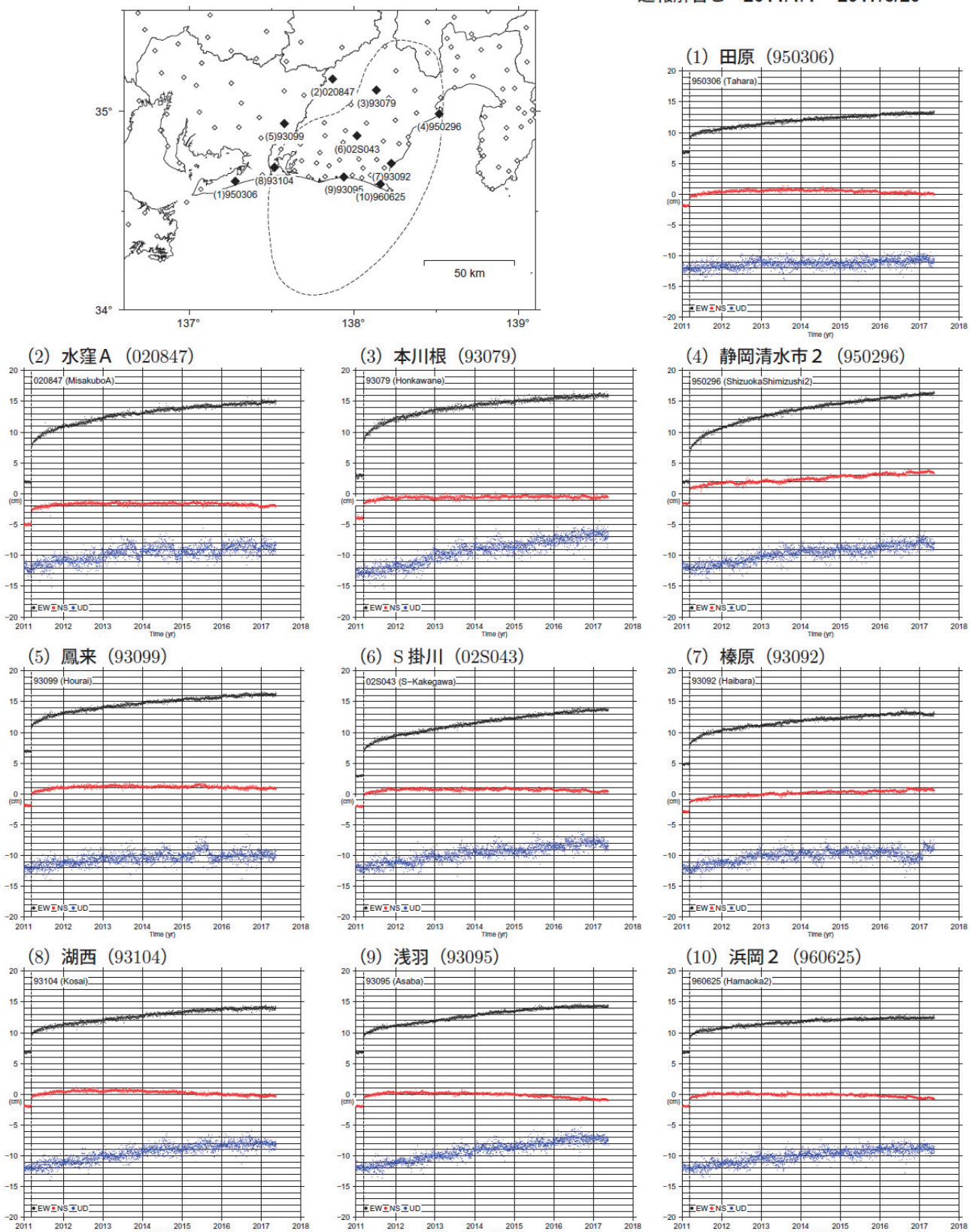


国土地理院

図 10 国土地理院 GNSS 観測結果による、東海地方の水平地殻変動

東海地方の非定常地殻変動時系列【固定局：三隅】

速報解含む 2011/1/1 – 2017/5/20



- 2011年3月11日に発生した東北地方太平洋沖地震による地殻変動の影響は取り除いていない。

- 2008年1月1日～2011年1月1日のデータから平均変動速度、年周/半年周成分を推定して、元の時系列データから除去している。

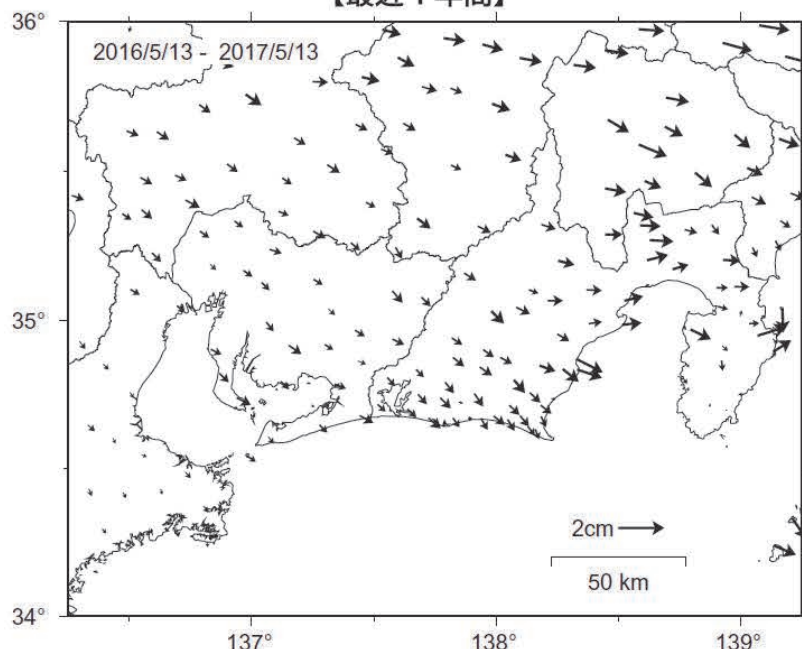
- 2016年4月に発生した熊本地震による固定局三隅の地殻変動は補正している。

国土地理院

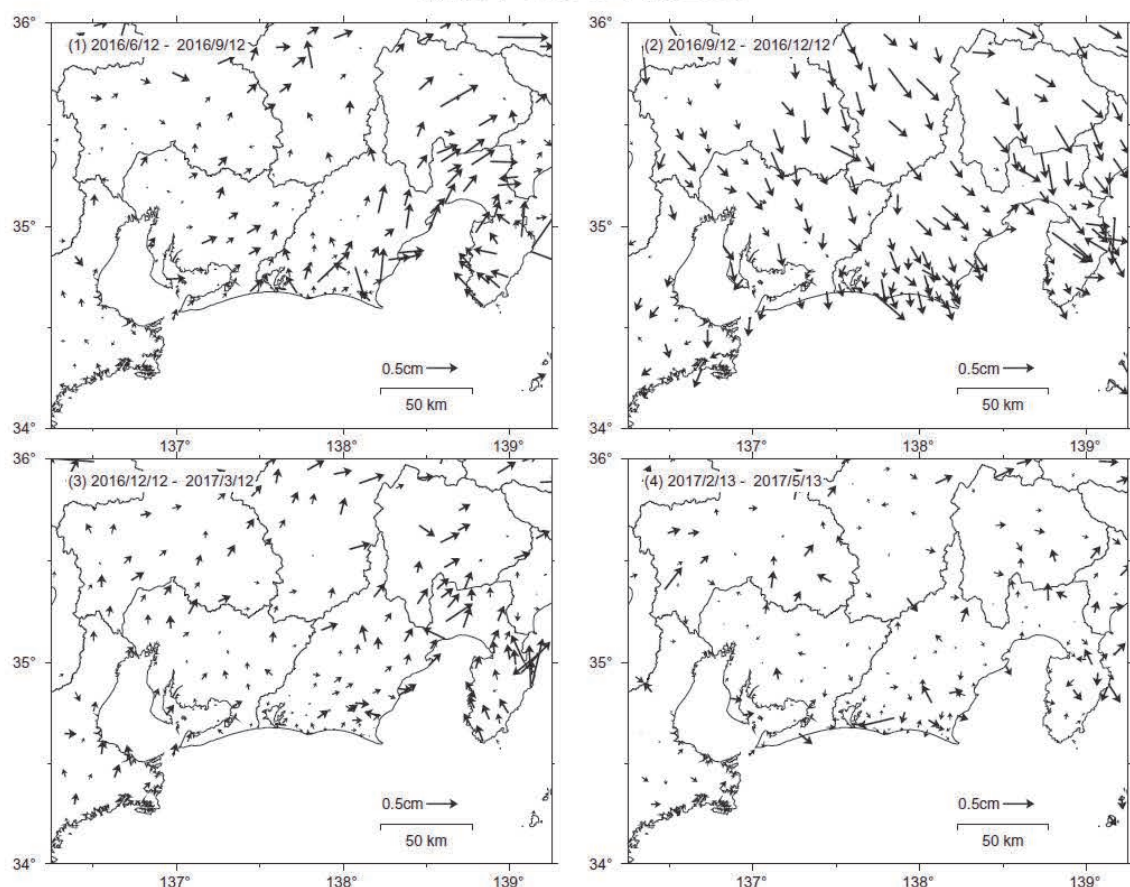
図 11 国土地理院 GNSS 観測結果による、東海地方の非定常地殻変動時系列

「平成23年（2011年）東北地方太平洋沖地震」による余効変動が、小さくなりつつあるが、東海地方においてもみられている。

**東海地方の非定常水平地殻変動【固定局：三隅】
(2016年5月～2017年5月)
【最近1年間】**



【最近1年間 3ヶ月ごと】



・非定常地殻変動時系列から、1年間と3ヶ月間の変動量を表示している。

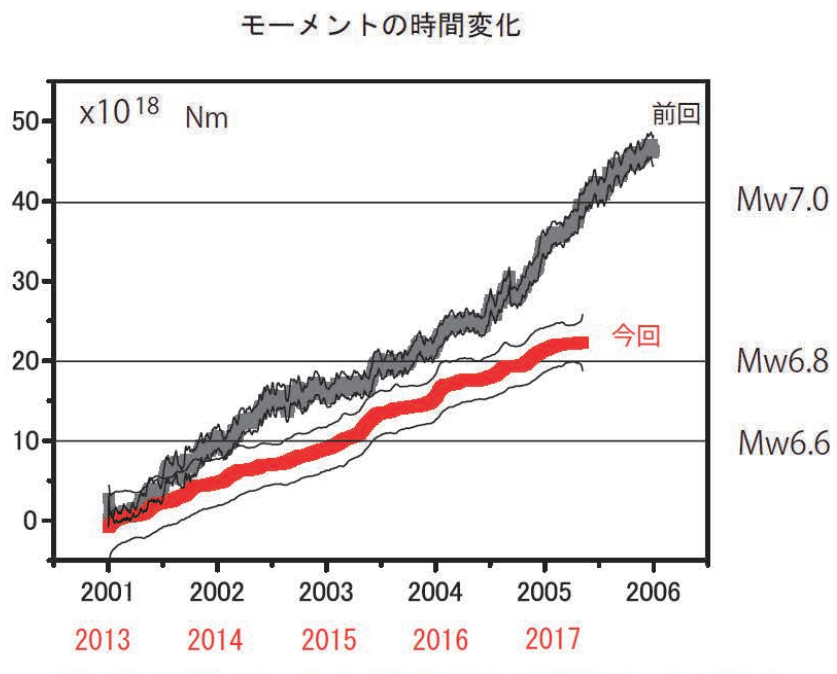
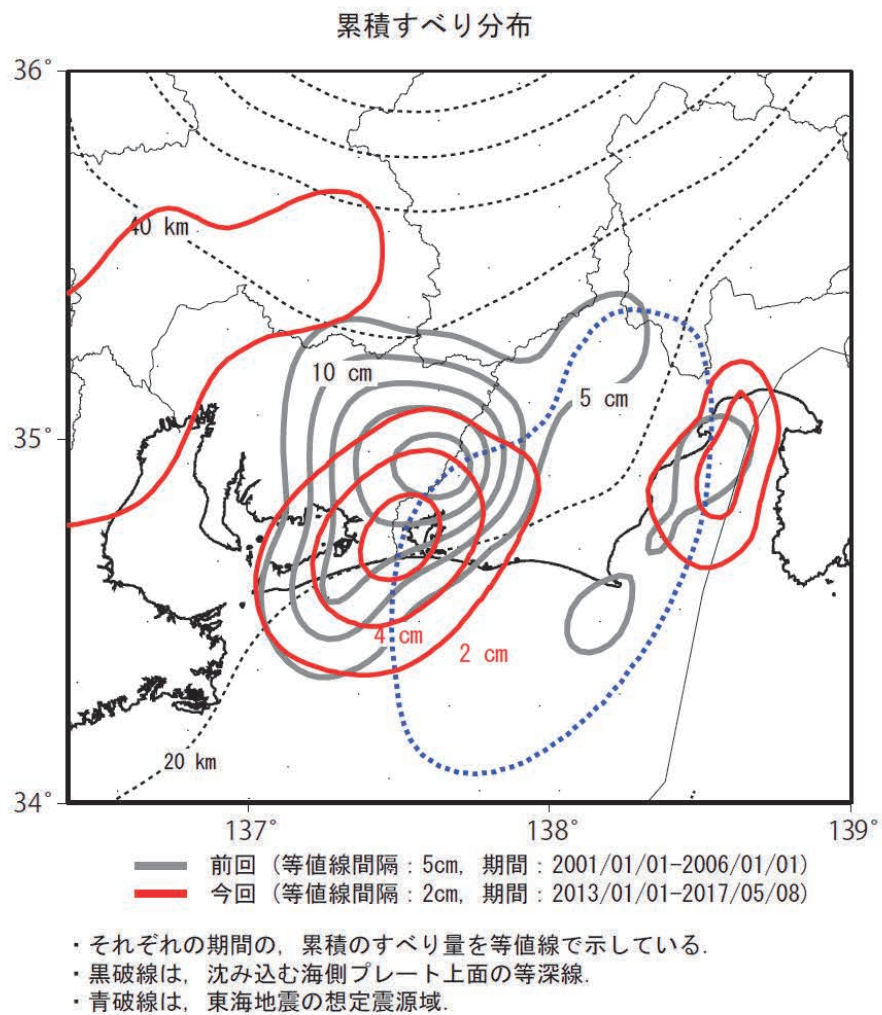
※非定常地殻変動時系列：

2008年1月～2011年1月のデータから平均変動速度、年周/半年周成分を推定して、元の時系列データから除去した時系列。

国土地理院

図 12 国土地理院 GNSS 観測結果による、東海地方の非定常水平地殻変動

非定常地殻変動から推定される累積すべり分布及びモーメントの時間変化（暫定）



国土地理院

図 13 国土地理院 GNSS 観測結果による、長期的ゆっくりすべりの発生を示唆する非定常地殻変動から推定される累積すべり分布及びモーメントの時間変化の比較